

矩分析法与 $\xi(2220)$

郁宏 沈齐兴

(中国科学院高能物理研究所, 北京 100039)

· 摘 要

为减少几何接收度的影响, 提高精度, 我们引进矩的赝标介子角分布 $H_J(jm, \theta)$. 对于辨别 $\xi(2220)$ 的自旋为 2 还是 4, 要比通常的投影赝标介子角分布 $W_J(\theta)$ 灵敏. 我们还给出了矩分析所需的矩, 以及直接用矩的关系式表示的螺旋度振幅之比 x_J 和 y_J .

$\xi(2220)$ 作为一个新的窄玻色共振态, 从 1983 年 Mark III 实验组在反应

$$e^+ + e^- \rightarrow J/\psi \rightarrow \gamma + \xi, \xi \rightarrow K^+ K^- \quad (1)$$

中发现至今已近十年了^[1]. Mark III 还在过程

$$e^+ + e^- \rightarrow J/\psi \rightarrow \gamma + \xi, \xi \rightarrow K_S^0 K_S^0 \quad (2)$$

中观测到了这个新强子态^[2]. 但由于总共只有 100 多个事例, 所以角分布分析不能确定它的自旋为 $J=2$ 还是 4 ^[3]. 他们给出了二组螺旋度振幅之比 x_J 和 y_J 的实验值^[4]:

$$\begin{aligned} J=2 \quad x_2 &= -0.67_{-0.16}^{+0.14}, y_2 = 0.13_{-0.19}^{+0.21}; \\ J=4 \quad x_4 &= 1.29_{-0.30}^{+0.62}, y_4 = 0.40_{-0.39}^{+0.76}. \end{aligned} \quad (3)$$

DM2 实验组研究了 J/ψ 辐射衰变产生的 $K^+ K^-$ 和 $K_S^0 K_S^0$ 不变质量谱, 不排除在 2220MeV 处有一个结构, 但不能给出此处存在一个窄共振态的肯定结论^[5].

BES 实验组除了在上述二个反应道看到了 $\xi(2220)$ 窄共振峰的信号, 还在下面中性触发反应道

$$e^+ + e^- \rightarrow J/\psi \rightarrow \gamma + \xi, \xi \rightarrow \eta\eta \quad (4)$$

中看到了这个信号. 初步确认了窄共振态 $\xi(2220)$ 的存在.

$\xi(2220)$ 窄共振态的发现, 导致很多关于它的性质的讨论^[6], 但由于它的最基本的物理参数——自旋未能被确定; 螺旋度振幅比有二组数值, 而且误差较大; 各种衰变道分支比的测定还远远不够; 所以很难作出任何肯定的结论. 除了增加统计事例数, 能否找到比通常的角分布分析更灵敏的方法, 成为我们关注的一个问题.

过程

$$e^+ + e^- \rightarrow J/\psi \rightarrow \gamma + \xi, \xi \rightarrow P\bar{P} \quad (5)$$

(其中 P 代表赝标介子) 的角分布螺旋度形式为^[7]

• 国家自然科学基金和中国科学院理论物理特别支持经费资助.

本文 1992 年 10 月 19 日收到.

$$W_J(\theta_\gamma, \theta, \phi) \propto \sum_{\substack{\lambda_J, \lambda_\gamma, \lambda_\xi \\ \lambda_X, \lambda_X}} I_{\lambda_J, \lambda_J}(\theta_\gamma) A_{\lambda_J, \lambda_X} A_{\lambda_\gamma, \lambda_X}^* D_{\lambda_X, 0}^{J, \lambda_\gamma - \lambda_X}(\phi, \theta, 0) D_{\lambda_X, 0}^{J, \lambda_\gamma - \lambda_X}(\phi, \theta, 0). \quad (6)$$

其中

$$I_{\lambda_J, \lambda_J}(\theta_\gamma) \propto \frac{1}{4} \sum_{r, r'} \langle \psi_{\lambda_J} | T | e_r^+ e_{r'}^- \rangle \langle \psi_{\lambda_J} | T | e_r^+ e_{r'}^- \rangle^*, \quad (7)$$

$\lambda_J, \lambda_\gamma$ 和 λ_ξ 是 J/ψ 、光子和 ξ 粒子的螺旋度; A_{λ_J, λ_X} 是过程 $J/\psi \rightarrow \gamma + \xi$ 的螺旋度振幅; θ_γ 是入射 e^+ 束和出射光子之间的夹角. 这里选取 J/ψ 静止系中光子出射方向为 z 轴, e^+, e^- 束流在 $x-z$ 平面内, y 轴的方向平行于 $\mathbf{z} \times \mathbf{p}_+$, \mathbf{p}_+ 为正电子的动量. (θ, ϕ) 描写 ξ 粒子静止系中出射赝标介子的动量方向.

归一化的投影角分布公式为^[8]:

$$\begin{aligned} W_J(\theta_\gamma) &= (1 + A_J \cos^2 \theta_\gamma) / (2 + 2A_J/3), \\ W_J(\theta) &= (1 + B_J \cos^2 \theta + C_J \cos^4 \theta + D_J \cos^6 \theta + E_J \cos^8 \theta) / \\ &\quad (2 + 2B_J/3 + 2C_J/5 + 2D_J/7 + 2E_J/9). \end{aligned} \quad (8)$$

其中

$$A_J = (1 + y_J^2 - 2x_J^2) / (1 + y_J^2 + 2x_J^2); (J = 2, 4) \quad (9)$$

$$B_2 = (-12 + 12x_2^2 - 6y_2^2) / (2 + 3y_2^2),$$

$$C_2 = (18 - 12x_2^2 + 3y_2^2) / (2 + 3y_2^2),$$

$$D_2 = E_2 = 0. \quad (10)$$

$$B_4 = (-180 + 180x_4^2 - 160y_4^2) / (9 + 10y_4^2),$$

$$C_4 = (1110 - 1020x_4^2 + 780y_4^2) / (9 + 10y_4^2),$$

$$D_4 = (-2100 + 1820x_4^2 - 1120y_4^2) / (9 + 10y_4^2),$$

$$E_4 = (1225 - 980x_4^2 + 490y_4^2) / (9 + 10y_4^2). \quad (11)$$

x_J 和 y_J ($J=2$ 和 4) 为过程 $J/\psi \rightarrow \gamma + \xi$ (ξ 的自旋为 J) 的螺旋度振幅比.

我们用 Mark III 的实验数据(见(3)式), 取中心值, 给出归一化的投影角分布(见图 1 和图 2).

显然, 在误差较大的情况下, 相应于 $J=2$ 和 4 的二条曲线很难分开.

我们用矩分析法, 引进了矩的光子角分布 $H_J(\theta_\gamma, LM)$ ^[9], 发现 $H_2(\theta_\gamma, 40)$ 和 $H_4(\theta_\gamma, 40)$ 对于区分 $J=2$ 和 4 更灵敏. 但由于几何接收度对于光子角分布的影响较大, 不如赝标介子角分布, 由于 θ 角是在 ξ 静止系中定义的, 可以大大减少几何接收度的影响, 为此, 我们选取固定 z 轴(平行于 \mathbf{p}_+) 的坐标系, 并使光子在 $x-z$ 平面内 ($\phi_\gamma = 0$). 于是, 相应于过程(5)的角分布螺旋度形式为:

$$\begin{aligned} W'_J(\theta_\gamma, \theta, \phi) \propto \sum_{\substack{\lambda_J, \lambda_\gamma, \lambda_\xi \\ \lambda_X, \lambda_X}} I_{\lambda_J, \lambda_J} A_{\lambda_J, \lambda_X} A_{\lambda_\gamma, \lambda_X}^* D_{\lambda_X, \lambda_\gamma - \lambda_X}^{J, \lambda_\gamma - \lambda_X}(0, \theta_\gamma, 0) \\ D_{\lambda_X, \lambda_\gamma - \lambda_X}^{J, \lambda_\gamma - \lambda_X}(0, \theta_\gamma, 0) D_{\lambda_X, 0}^{J, \lambda_\gamma - \lambda_X}(\phi, \theta, 0) D_{\lambda_X, 0}^{J, \lambda_\gamma - \lambda_X}(\phi, \theta, 0). \end{aligned} \quad (12)$$

其中

$$I_{\lambda_J, \lambda_J} = 2p^2 \delta_{\lambda_J, \lambda_J} \delta_{\lambda_J, \pm 1}, p = |P_+| = |P_-|. \quad (13)$$

定义矩的赝标介子角分布

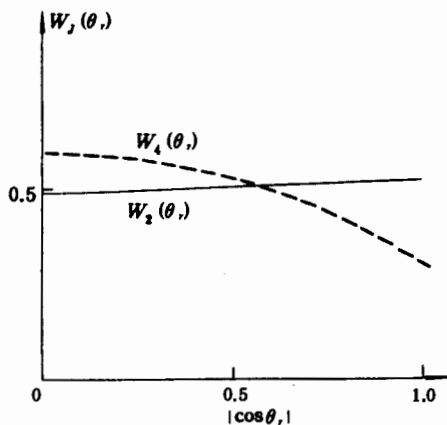


图 1

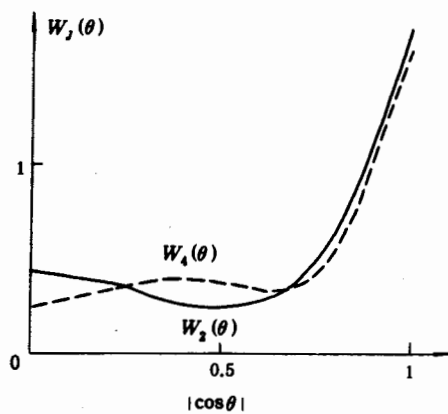


图 2

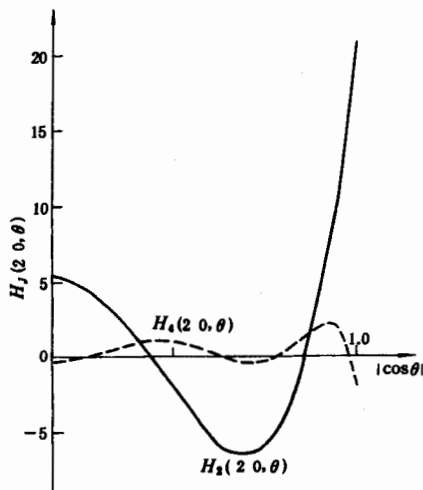


图 3

$$H_j(jm, \theta, \phi) = \int_0^\pi W'_j(\theta_7, \theta, \phi) D_{0, -m}^j(0, \theta_7, 0) \sin \theta_7 d\theta_7 \quad (14)$$

其中, j 的取值为 2, 1, 0; 而 $|m| \leq j$, 且 $m = \lambda_x - \lambda'_x$. 以类似于 $W_j(\theta)$ 的 $H_j(2 0, \theta)$ 为例, 归一化后, 我们有

$$H_j(20, \theta) = (1 + B'_j \cos^2 \theta + C'_j \cos^4 \theta + D'_j \cos^6 \theta + E'_j \cos^8 \theta) / (2 + 2B'_j/3 + 2C'_j/5 + 2D'_j/7 + 2E'_j/9). \quad (15)$$

其中

$$\begin{aligned} B'_2 &= (-12 - 24x_2^2 - 6y_2^2) / (2 + 3y_2^2), \\ C'_2 &= (18 + 24x_2^2 + 3y_2^2) / (2 + 3y_2^2), \\ D'_2 &= E'_2 = 0; \\ B'_4 &= (-180 - 360x_4^2 - 160y_4^2) / (9 + 10y_4^2), \\ C'_4 &= (1110 + 2040x_4^2 + 780y_4^2) / (9 + 10y_4^2), \\ D'_4 &= (-2100 - 3640x_4^2 - 1120y_4^2) / (9 + 10y_4^2), \\ E'_4 &= (1225 + 1960x_4^2 + 490y_4^2) / (9 + 10y_4^2). \end{aligned} \quad (16)$$

(17)

这里,我们已用了宇称守恒及时间反演不变性.显然,它们与 $W_J(\theta)$ 相比,对于分辨 $J=2$ 还是 4 更灵敏(见图 3).

可以预期,如要确定 $\xi(2220)$ 的自旋,矩分析法会比单纯的角分布分析方法更有效.为了便于作矩分析,类似于文献[10]我们对 $J=2$ 和 $J=4$ 两种情况,分别给出相应的十个矩

$$\begin{aligned}
 M_2(000) &\propto 8(A_{1,0}^2 + A_{1,1}^2 + A_{1,2}^2), \\
 M_2(200) &\propto \frac{4}{5}(A_{1,0}^2 - 2A_{1,1}^2 + A_{1,2}^2), \\
 M_2(020) &\propto \frac{8}{7}(2A_{1,0}^2 + A_{1,1}^2 - 2A_{1,2}^2), \\
 M_2(220) &\propto \frac{8}{35}(A_{1,0}^2 - A_{1,1}^2 - A_{1,2}^2), \\
 M_2(221) &\propto \frac{4}{35}(\sqrt{3}A_{1,0}A_{1,1} - 3\sqrt{2}A_{1,1}A_{1,2}), \\
 M_2(222) &\propto -\frac{8\sqrt{6}}{35}A_{1,0}A_{1,2}, \\
 M_2(040) &\propto \frac{8}{21}(6A_{1,0}^2 - 4A_{1,1}^2 + A_{1,2}^2), \\
 M_2(240) &\propto \frac{4}{105}(6A_{1,0}^2 + 8A_{1,1}^2 + A_{1,2}^2), \\
 M_2(241) &\propto \frac{4}{105}(3\sqrt{10}A_{1,0}A_{1,1} + \sqrt{15}A_{1,1}A_{1,2}), \\
 M_2(242) &\propto \frac{4\sqrt{10}}{35}A_{1,0}A_{1,2}; \tag{18}
 \end{aligned}$$

和

$$\begin{aligned}
 M_4(000) &\propto 8(A_{1,0}^2 + A_{1,1}^2 + A_{1,2}^2), \\
 M_4(200) &\propto \frac{4}{5}(A_{1,0}^2 - 2A_{1,1}^2 + A_{1,2}^2), \\
 M_4(020) &\propto \frac{8}{77}(20A_{1,0}^2 + 17A_{1,1}^2 + 8A_{1,2}^2), \\
 M_4(220) &\propto \frac{8}{385}(10A_{1,0}^2 - 17A_{1,1}^2 + 4A_{1,2}^2), \\
 M_4(221) &\propto \frac{4}{385}(3\sqrt{10}A_{1,0}A_{1,1} - 27A_{1,1}A_{1,2}), \\
 M_4(222) &\propto -\frac{72\sqrt{10}}{385}A_{1,0}A_{1,2}, \\
 M_4(040) &\propto \frac{8}{1001}(162A_{1,0}^2 + 81A_{1,1}^2 - 99A_{1,2}^2), \\
 M_4(240) &\propto \frac{4}{5005}(162A_{1,0}^2 - 162A_{1,1}^2 - 99A_{1,2}^2), \\
 M_4(241) &\propto \frac{4}{5005}(81\sqrt{3}A_{1,0}A_{1,1} - 54\sqrt{30}A_{1,1}A_{1,2}),
 \end{aligned}$$

$$M_4(242) \propto -\frac{36\sqrt{6}}{455}A_{1,0}A_{1,2}. \quad (19)$$

用这二十个矩作矩分析,可以确定 ξ 的自旋,并且能拟合出相应的螺旋度振幅比值 x_j 和 y_j .

我们还得到了关于 x_j 和 y_j 的矩的表示式:

$$\begin{aligned} x_2 &= \left[\frac{20}{\sqrt{3}}M_2(221) + 12\sqrt{10}M_2(241) \right] / I_1, \\ y_2 &= 14\sqrt{10}M_2(242) / I_1 = -35\sqrt{\frac{2}{3}}M_2(222) / I_1, \\ x_2^2 &= \frac{2}{3}[M_2(000) - 10M_2(200)] / I_1, \\ y_2^2 &= \frac{1}{3}[3M_2(000) + 35M_2(220) - 14M_2(020)] / I_1. \end{aligned} \quad (20)$$

其中

$$I_1 = [M_2(000) + 35M_2(220)]. \quad (21)$$

和

$$\begin{aligned} x_4 &= \left[\frac{715\sqrt{3}}{2}M_4(241) - 165\sqrt{10}M_4(221) \right] / I_2, \\ y_4 &= -\frac{455}{2\sqrt{6}}M_4(242) / I_2 = \frac{-385}{4\sqrt{10}}M_4(222) / I_2, \\ x_4^2 &= \frac{2}{3}[M_4(000) - 10M_4(200)] / I_2, \\ y_4^2 &= \left\{ \frac{5}{2}[M_4(000) + 5M_4(200)] - \frac{77}{8}[M_4(020) + 5M_4(220)] \right\} / I_2. \end{aligned} \quad (22)$$

其中

$$I_2 = \frac{77}{8}[M_4(020) + 5M_4(220)] - [M_4(000) + 5M_4(200)]. \quad (23)$$

于是,可从二个方面来确定 x_j 和 y_j 的数值,对于减小误差,提高精度是有利的.

在此基础上,我们如再给出各种可能衰变道($K\bar{K}$, $\eta\eta$, $\eta\eta'$, $\omega\phi$ 等等)的分枝比,那么对于认识新的窄共振态 ξ 将十分有益.

参 考 文 献

- [1] K. F. Einsweiler, SLAC-PUB-3202(1983).
- [2] R. M. Baltraitis et al., *Phys. Rev. Lett.*, **56**(1986), 107.
- [3] J. Becker et al., Contributed paper to the 23rd Int. Conf. on HEP, Berkeley, July 1986 and SLAC-PUB-4246(1987).
- [4] G. Eigen, CALT-68-1483(1987).
- [5] J. Augustin et al., *Phys. Rev. Lett.*, **60**(1988), 2238.
- [6] H. Haber, G. Kane, *Phys. Lett.*, **135B**(1984), 196;
R. Wiley, *Phys. Rev. Lett.*, **52**(1984), 585;
R. M. Barnett et al., *Phys. Rev.*, **D30**(1984), 1529;

- B. F. L. Ward, *Phys. Rev.*, **D31**(1985), 2849; **D32**(1986), 1260;
沈齐兴、郁宏, *高能物理与核物理*, **14**(1990), 477;
M. Chanowitz, S. R. Sharpe, *Phys. Lett.*, **132B**(1983), 413;
K. T. Chao, *Phys. Rev. Lett.*, **60**(1988), 134;
S. Pakvasa et al., *Phys. Lett.*, **145B**(1984), 134; *Phys. Rev.*, **D31**(1985), 2378;
S. Godfrey, R. Kokoski, N. Isgur, *Phys. Lett.*, **141B**(1984), 439.
- [7] 郁宏, *高能物理与核物理*, **13**(1989), 87.
[8] 严武光、郁宏, *高能物理与核物理*, **13**(1989), 234.
[9] Yu Hong, *Commun. Theor. Phys.*, **12**(1989), 239.
[10] 郁宏、沈齐兴, *高能物理与核物理*, **16**(1992), 861.

Moment Analysis and $\xi(2220)$

YU HONG SHEN QIXING

(*Institute of High Energy Physics, Academia Sinica, Beijing 100039*)

ABSTRACT

In order to reduce the influence of the geometrical acceptance and improve the precision we introduce the pseudoscalar meson angular distribution of the moment $H_j(jm, \theta)$. It is more sensitive than the usual projective pseudoscalar meson angular distribution $W_j(\theta)$ for determining that the spin of the $\xi(2220)$ is 2 or 4. We also give some moments which are needed for the moment analysis and some relations of moments to represent the helicity amplitude ratios x_j and y_j directly.